

Ti-6Al-2Sn-4Zr-2Mo 合金の破壊靶性 におよぼすミクロ組織の影響

論文

岡 勉^{*}・前 義治²・岸 輝雄^{*3}

The Effect of Microstructure on Fracture Toughness of Ti-6Al-2Sn-4Zr-2Mo Alloy

Tsutomu OKA, Yoshiharu MAE and Teruo KISHI

Synopsis:

The effect of microstructure on fracture toughness of near α titanium alloy Ti-6Al-2Sn-4Zr-2Mo was investigated by Acoustic Emission three dimensional location, Acoustic Emission source characterization and fractography method. The fracture toughness of alloy with acicular α structure was superior to that of alloy with equiaxed α structure at the same yield strength level. It was considered that the result was based on the number of large amplitude Acoustic Emission events prior to KIC and on the deflection of the crack path. The large amplitude Acoustic Emission events corresponded to microcracks of 50-80 μm which nucleated at the pre-fatigue crack tip along crack front in both structures. Macroscopic crack growth occurred where these microcracks coalesced in the direction to specimen thickness. These microcracks lower the stress concentration at the crack tip. Thus it was concluded that microcrackings enhanced the fracture toughness of titanium alloy with acicular α structure.

Key words: titanium base alloy; fracture toughness; Acoustic Emission; equiaxed α ; acicular α .

1. 緒 言

α , β 二相チタン合金のミクロ組織は熱間加工条件やその後の熱処理によってさまざまに変化し、その機械的性質におよぼす影響は大きい。それゆえ、ミクロ組織と機械的性質の関係に関する研究は従来から多数なされ¹⁾⁻⁵⁾、等軸組織が強度、延性に優れる一方、針状組織は靶性に優れていることが明らかになり、両者の特性をいかして靶性、強度、延性の調和を図った混合組織を生み出す手法も開発されている²⁾。このように、チタン合金が構造材料として使用される際に重要な機械的性質とミクロ組織の関係は明瞭になりつつある。しかしながら、大部分の研究は強度とミクロ組織に関して定性的な取扱いに終始しているため、機械的性質を支配する材料因子がいまだ明確にされておらず、新しい材料開発に役立つ手法を与えるには至つていなかつた。

岸らは、Ti-6 Al-4 V 合金の破壊靶性に関してその破壊の素過程を検討し、針状組織が高い破壊靶性を示すのは、き裂前縁に生ずる微視ファセットによる応力集中の

緩和 (Shielding 効果) とそれに関連する凹凸の激しい破面の形成によるということを報告した⁶⁾。このことから、き裂先端に微視割れ、塑性変形、相変態、枝分れなどを導入するとき裂先端の応力集中を緩和することになり、同一強度でも破壊靶性を向上させることが可能であると結論しうる。

本研究は Ti-6 Al-4 V 合金の結果をもとに、Near α 型 Ti-6 Al-2 Sn-4 Zr-2 Mo 合金の破壊靶性と針状、等軸、混合組織の関係およびそれらの破壊素過程について検討を進め、新しいチタン合金の開発に役立つ知見を深めようとするものである。

2. 実験方法

2・1 供試材

供試材は消耗電極式真空アーク二重溶解により溶製された 1.8 t インゴットを β 域で分塊鍛造し、さらに $\alpha+\beta$ 圧延 (950°C 加熱) または β 圧延 (1050°C 加熱) した板厚 30 mm の厚板である。化学組成を Table 1 に示す。この厚板に Table 2 に示す熱処理を施した。Con-

昭和 61 年 4 月本会講演大会にて発表 昭和 63 年 1 月 13 日受付 (Received Jan. 13, 1988)

* 三菱金属(株)中央研究所 (Central Research Institute, Mitsubishi Metal Corporation, 1-297 Kitabukuro-machi Omiya 330)

*2 三菱金属(株)中央研究所 工博 (Central Research Institute, Mitsubishi Metal Corporation)

*3 東京大学先端科学技術研究センター 工博 (Research Center for Advanced Science and Technology, The University of Tokyo)

dition 1(以下C1)はAerospace Material Specification(AMS規格)の焼鈍条件、C2はAMS規格の溶体化時効条件に相当し、C3およびC4は二重溶体化時効処理で溶体化後の冷却を水冷および空冷とした場合である。得られたミクロ組織をPhoto.1に示す。 $\alpha+\beta$ 圧延材は等軸の初析 α を β 圧延材は針状の初析 α を有しており、以降等軸初析 α 材、針状初析 α 材と称す。いずれもC1では初析 α と変態 β (Transformed β)、C2では初析 α と時効 β マトリックス(Matrix)、C3では初析 α と向きがランダムな微細二次析出針状 α および時効 β マトリックス、C4では初析 α と向きがそろいC3

に比べて粗大な二次析出針状 α および時効 β マトリックスとなっている。これらのミクロ組織を有する供試材の引張性質をTable 3に示す。等軸初析 α 材の方が針状初析 α 材よりも伸び、絞りに関してはどの状態と比較しても優れており、耐力も同熱処理条件で比べると20~80 MPa高くなっている。また、等軸初析 α 材、針状

Table 2. Heat treatment schedules.

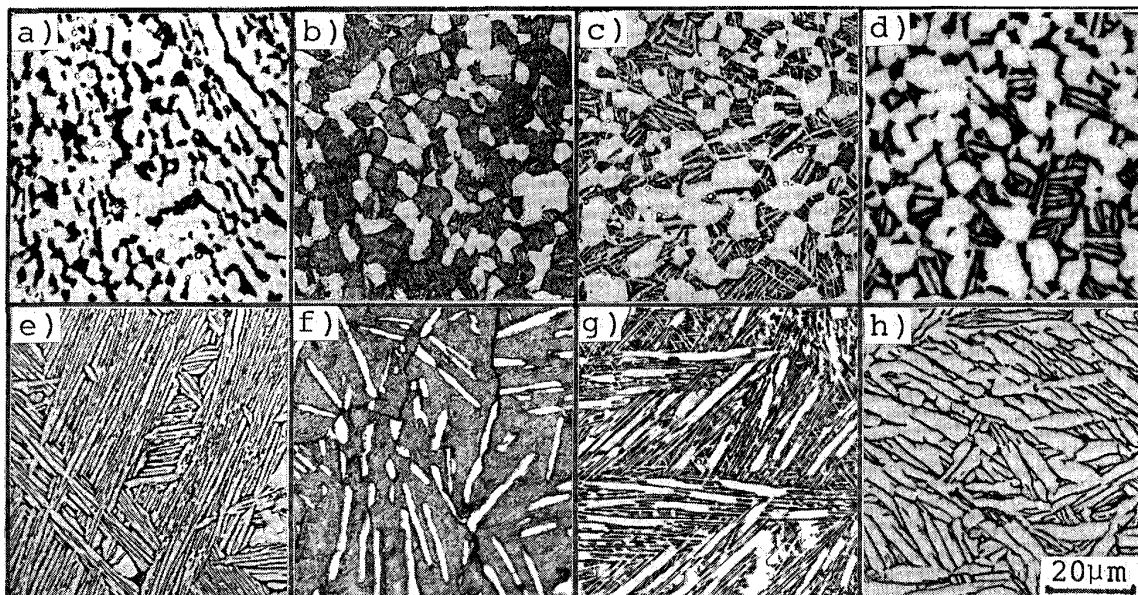
| | |
|-----------|--|
| Condition | 1. 900°C×1h AC+595°C×8h AC 2. 975°C×1h WQ+595°C×8h AC 3. 975°C×1h WQ+900°C×1h WQ+595°C×8h AC 4. 975°C×1h AC+900°C×1h AC+595°C×8h AC |
| | AC : Air Cool WQ : Water Quench |

Table 1. Chemical composition of Ti-6Al-2Sn-4Zr-2Mo Alloy used in the work (wt%).

| Element | Al | Zr | Sn | Mo | Fe | Si | O | C | N | H | Ti |
|---------------|------|------|------|------|-------|-------|-------|-------|-------|-------|-------|
| Concentration | 6.15 | 4.04 | 1.87 | 1.82 | 0.056 | 0.006 | 0.082 | 0.004 | 0.002 | 0.002 | Bal. |
| AMS 4919 A | Min | 5.50 | 3.50 | 1.80 | 1.80 | | | | | | |
| | Max | 6.50 | 4.50 | 2.20 | 2.20 | 0.25 | 0.10 | 0.15 | 0.05 | 0.05 | 0.015 |
| | | | | | | | | | | | Bal. |

Table 3. Tensile properties.

| Condition | Direction | $\alpha+\beta$ rolled plate | | | | β rolled plate | | | |
|-----------|-----------|-----------------------------|---------------|--------------|----------|----------------------|---------------|--------------|----------|
| | | UTS (MPa) | 0.2% YS (MPa) | El (%) | RA (%) | UTS (MPa) | 0.2% YS (MPa) | El (%) | RA (%) |
| C1 | L T | 994 983 | 934 918 | 14.8 17.4 | 32 40 | 979 994 | 851 885 | 12.8 15.0 | 22 23 |
| C2 | L T | 1 078 1 082 | 989 977 | 15.9 17.4 | 38 34 | 1 038 1 077 | 933 957 | 7.9 9.4 | 14 15 |
| C3 | L T | 1 040 1 069 | 941 953 | 16.7 15.4 | 33 34 | 1 007 1 020 | 911 918 | 10.0 8.7 | 14 14 |
| C4 | L T | 953 962 | 901 884 | 17.9 18.1 | 35 36 | 941 961 | 841 862 | 11.6 14.5 | 20 25 |



a), b), c), d) : $\alpha+\beta$ rolled, C1, C2, C3, C4
e), f), g), h) : β rolled, C1, C2, C3, C4

Photo. 1. Microstructures of Ti-6Al-2Sn-4Zr-2Mo alloy used in this work.

初析 α 材のいずれも若干 T 方向（圧延方向に直角）が L 方向（圧延方向に平行）に比較し高い強度を示すものの異方性は小さいといえ、溶体化時効状態の C 2, 二重溶体化時効処理の水冷 C 3, 焼純状態の C 1, 二重溶体化時効処理の空冷 C 4 の順に高い強度を示す。

2・2 試験方法

破壊革性試験はき裂が圧延方向と直角（L-T 方向）となる 1 インチ厚さの CT 試験片を用い、ASTM-E 399 に準じて行つた。また同時に AE 計測およびその原波形解析も合わせて行つた。AE 計測は変換子 R-15 を用いてプリアンプ 20 dB, メインアンプ 40 dB, しきい値 0.1 mV の条件で PAC 3004 により行つた。原波形解析は変換子 FC-500 および P-50 を用い、BX-31 で増幅、ウェーブメモリー AE 9620 に収録、HP 216 に転送

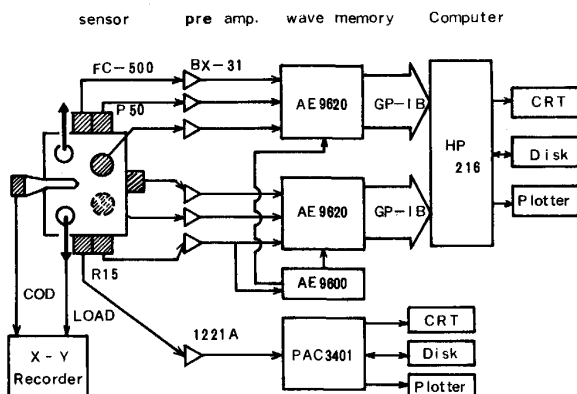


Fig. 1. Block diagram for AE analysis.

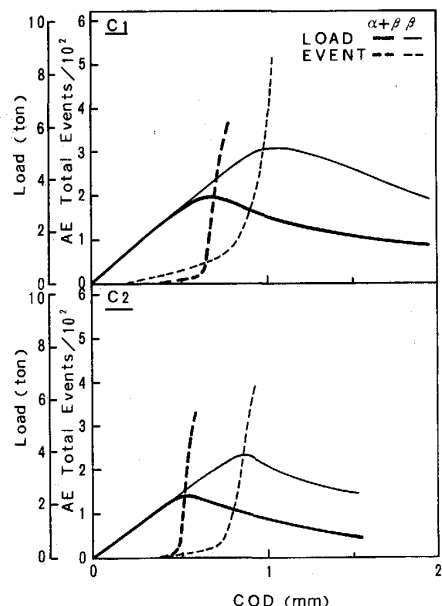


Fig. 2. Load-COD curves with AE event counts during fracture toughness testing in condition 1 and condition 2.

し解析した。原波形解析の原理を Appendix に、計測システムを Fig. 1 に示す。

破壊革性試験後の破面観察は走査型電子顕微鏡により、き裂進展の観察は破壊革性試験を中断し、き裂進展部分を切断、エポキシ樹脂に埋め込み、研磨、エッティング後、光学顕微鏡により行つた。

3. 実験結果

3・1 破壊革性

Fig. 2 に等軸初析 α 材と針状初析 α 材の荷重-開口変位曲線を各熱処理ごとに示す。いずれも針状初析 α 材の方が荷重は高く、 K_{IC} 値および K_{IC} 値以降の破壊抵抗が高いことがわかる。これらの荷重-開口変位曲線から求めた破壊革性値を Table 4 に、耐力との相関関係を Fig. 3 に示す。等軸初析 α 材と針状初析 α 材とともに耐

Table 4. Fracture toughness.

| Condition | Direction | $\alpha + \beta$ rolled plate | β rolled plate |
|-----------|------------|-------------------------------|--|
| | | K_{IC} (MPa \sqrt{m}) | K_{IC} (MPa \sqrt{m}) |
| C1 | L-T T-L | 53 56 | 57 58 — *93 82 85 87 |
| C2 | L-T | 39 | 43 — 70 74 — |
| C3 | L-T | 50 | 52 — 76 76 79 |
| C4 | L-T | 62 | 62 72 *93 94 95 |

* K_Q

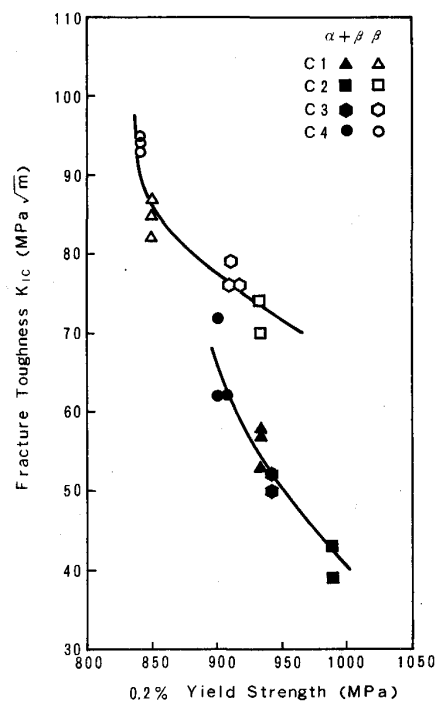
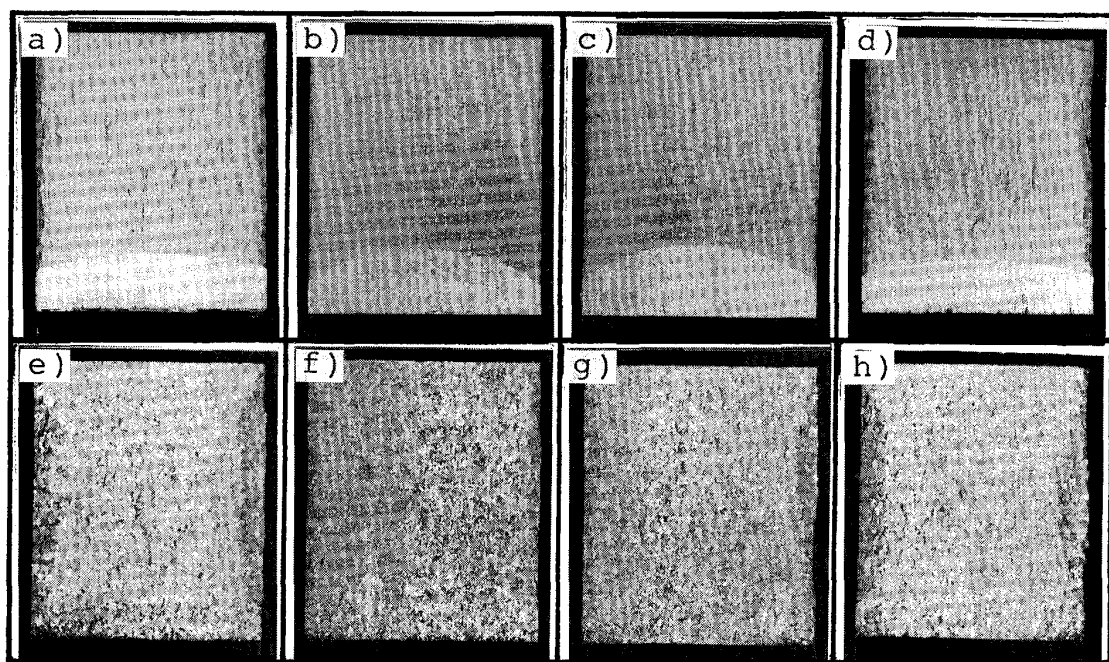


Fig. 3. Relationship between fracture toughness and 0.2% yield strength in Ti-6Al-2Sn-4Zr-2Mo alloy.

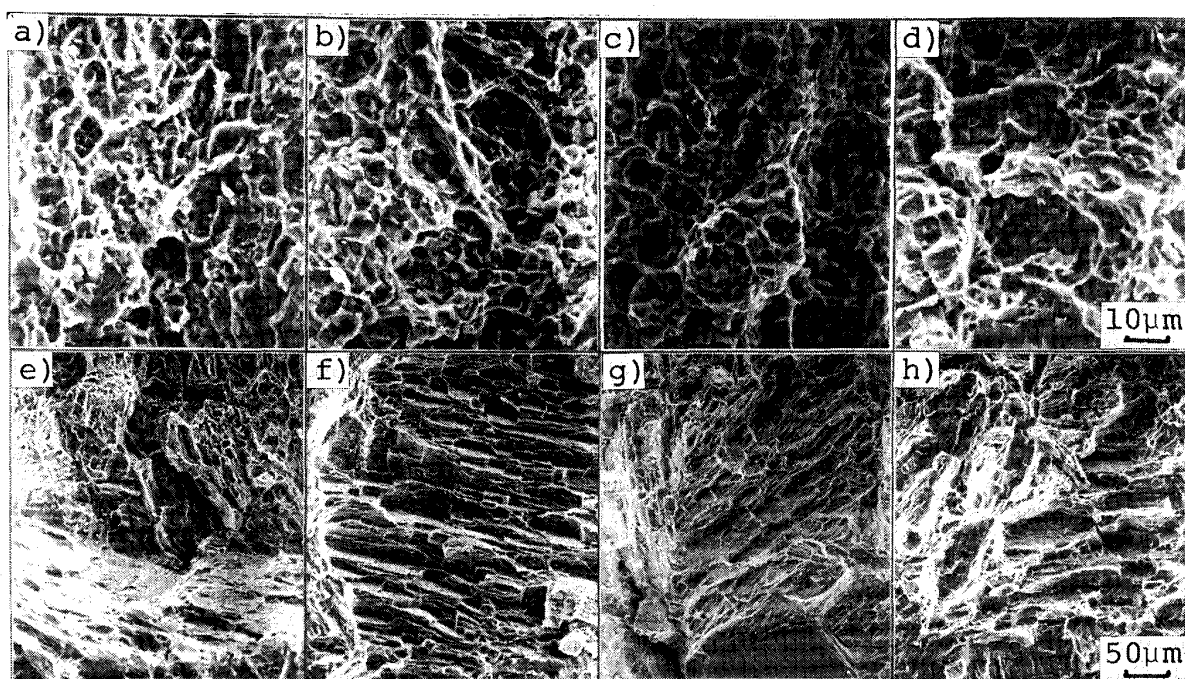
力と負の相関関係を示し、耐力が低下すると破壊靶性値は向上する。同一耐力で破壊靶性値を比較すると針状初析 α 材の方が高い値を有し、延性では等軸初析 α 材に劣るもの靶性では有利であることがわかる。しかしながら、耐力 932 MPa では $20\sim25 \text{ MPa}\sqrt{\text{m}}$ の K_{IC} 値の差

も耐力が低下するにつれて小さくなる傾向にある。等軸初析 α 材についてミクロ組織と破壊靶性の関係は、初析 α と時効 β マトリックスの状態(C2)に向きがランダムで微細な二次針状 α を析出させる(C3)と靶性は向上するが、初析 α と変態 β の焼鈍状態(C1)にはおよ



a), b), c), d) : $\alpha + \beta$ rolled, C1, C2, C3, C4
e), f), g), h) : β rolled, C1, C2, C3, C4

Photo. 2. Macroscopic observations of fracture surfaces.



a), b), c), d) : $\alpha + \beta$ rolled, C1, C2, C3, C4
e), f), g), h) : β rolled, C1, C2, C3, C4

Photo. 3. Scanning electron fractographs of Ti-6Al-2Sn-4Zr-2Mo alloy.

ばず、二次針状 α の向きをそろえ幅を大きくする (C 4) とさらに革性が向上するといえる。この傾向は針状初析 α 材についてもいえる。

3・2 破面観察

Photo. 2 に試験片のマクロ破面を、Photo. 3 にミクロ破面を示す。Photo. 2 から等軸初析 α 材は平坦な、針状初析 α 材は凹凸の激しい破面の様相を呈していることがわかる。さらに Photo. 3 から等軸初析 α 材は初析 α やその間隔に相当する大きさの等軸ディンプルが認められ、一方針状初析 α 材は針状の向きがそろつたブロッケに相当する擬へき開ファセットとその間をつなぐ伸長ディンプルが認められる。擬へき開ファセットが破面に占める割合は 40~50% 程度である。このように等軸初析 α 材と針状初析 α 材で破面の相違が明らかである。しかし、等軸初析 α 材間および針状初析 α 材間での破面の違いは明瞭には認められない。

3・3 き裂進展経路

き裂がミクロ組織のどの部分を進展しているかを Photo. 4 (C 2- β は欠) に示す。等軸初析 α 材は α 粒と β の界面および β マトリックス中をき裂が進展し、その経路は平坦である。一方、針状初析 α 材は α 粒と β の界面を針状 α の向きに沿ってき裂が進展し、その経路はジグザグの様相を呈している。また、向きを変える際 α 粒を貫通する部分も認められる。

3・4 AE 特性

ほぼ同一耐力である等軸初析 α 材と針状初析 α 材につ

いて、計測された AE の事象数を荷重-開口変位曲線とともに Fig. 4 に示す。上段が等軸初析 α 材 C 4, 針状初析 α 材 C 3 であり、下段がそれぞれ C 1, C 2 である。どちらも AE は K_{IC} 以前から計測されている。しかしながら、等軸初析 α 材で 0.7 K_{IC} から針状初析 α 材で 0.4 K_{IC} から計測され、 K_{IC} までに計測される AE 事象数は等軸初析 α 材よりも針状初析 α 材の方がはるかに多

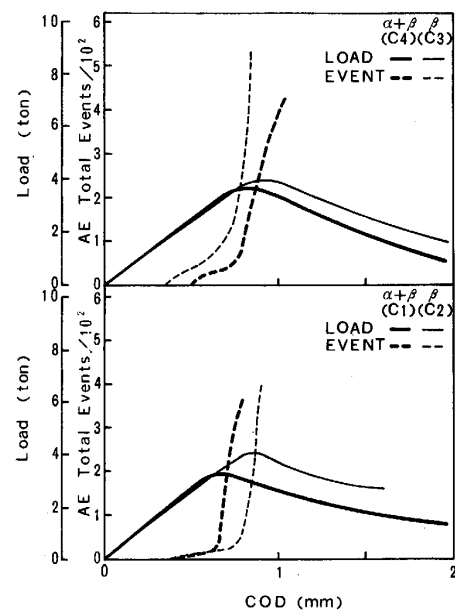
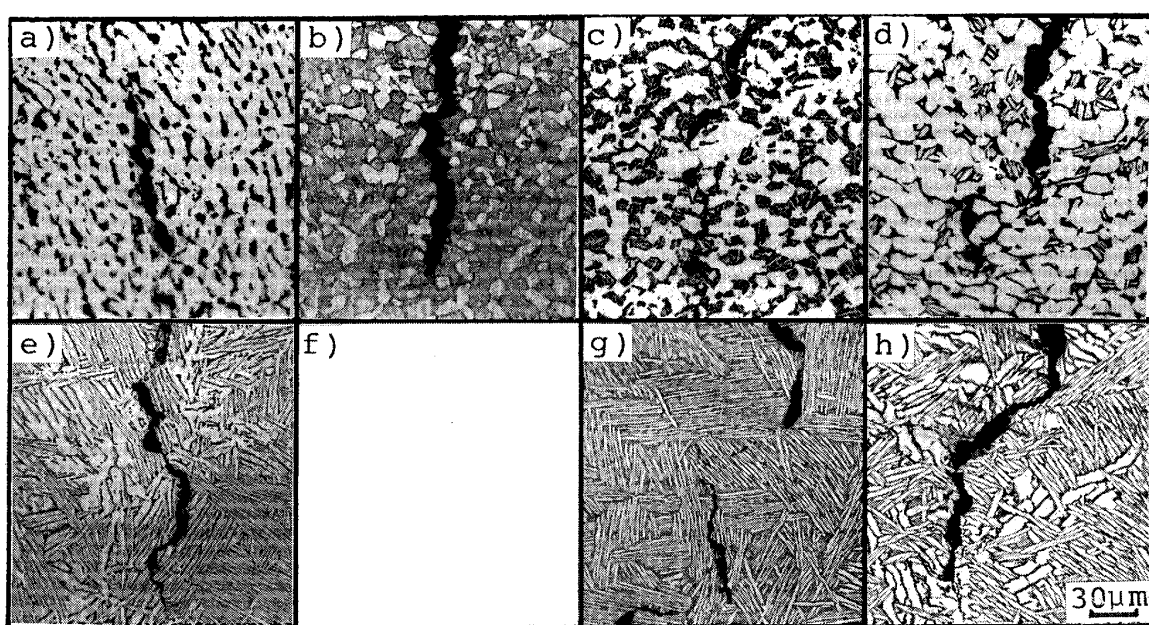


Fig. 4. Load-COD curves with AE event counts during fracture toughness testing in the same yield strength specimens.



a), b), c), d) : $\alpha + \beta$ rolled, C1, C2, C3, C4
e), f), g), h) : β rolled, C1, C2, C3, C4

Photo. 4. Micrographs of crack path in Ti-6Al-2Sn-4Zr-2Mo alloy.

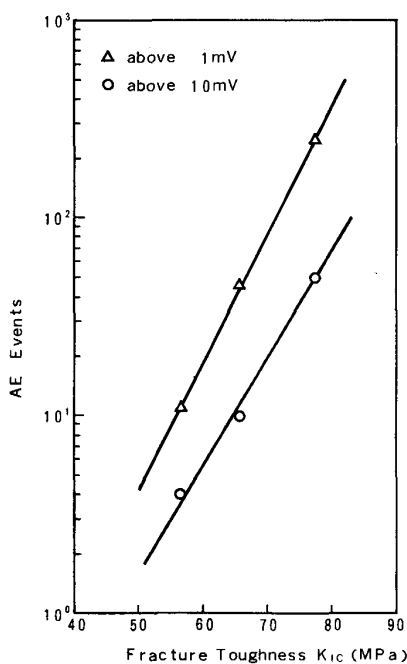


Fig. 5. Amplitude distribution of detected AE events.

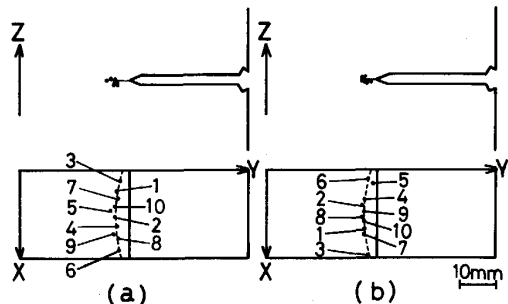


Fig. 6. Three dimensional location of large amplitude AE signals in (a) $\alpha + \beta$ rolled, C4 and (b) β rolled, C3.

いことがわかる。すなわち、AE 計数度が高いほど靱性は向上すると言えよう。

この計測された AE を振幅で整理したものが Fig. 5 である。1 mV 以上の振幅、10 mV 以上の振幅の AE について示したが、いずれも破壊靱性値が高くなるにつれて計測される AE 事象数も多くなっていることがわかる。従つて、これらのことから K_{Ic} 以前に微視割れが生じ、その数の多い方が破壊靱性値が高いと結論しうる。

そこで、振幅が 10 mV 以上である AE に注目し、原波形解析により微視割れの位置および大きさを求めた。位置標定の結果を Fig. 6 に示す。微視割れは等軸初析 α 材、針状初析 α 材とともにき裂前縁に生じており、塑性域の大きさが

Table 5. Cracking diameter, fracture surface and crack path morphology in Ti-6Al-2Sn-4Zr-2Mo alloy.

| | Diam. μm | Fracture surface | Crack path morphology |
|--------------------------------|------------------------|---------------------|--------------------------|
| α + | 50 80 | | |
| β C 4 (max 130) | | | |
| β C 3 (max 165) | 50 80 | | |

$$\gamma_p = \frac{1}{3\pi} \left(\frac{K_{Ic}}{\sigma_{ys}} \right)^2$$

から等軸初析 α 材で 180 μm ~560 μm 、針状初析 α 材で 630 μm ~1340 μm となるため、これらの微視割れはいずれもほぼ塑性域内に生じたものである。また、Appendix に示す(3)式より位置標定された個々の微視割れの大きさを求めるとき、等軸初析 α 材で最大 130 μm 、針状初析 α 材で最大 160 μm 、大部分は 50~80 μm であった。

Table 5 に破面、側面き裂進展および微視割れの大きさをまとめて示す。針状初析 α 材の 50~80 μm の割れは、破面の擬へき開ファセットに対応するものと考えられる。

4. 考察

最初にミクロ組織と破壊靱性の関係を定性的に述べると、針状初析 α 材は同一耐力で等軸初析 α 材よりも靱性に優れており、また、針状初析 α 材と等軸初析 α 材のどちらも初析 α と時効 β マトリックス中に向きがランダムな微細針状 α を生じると靱性は向上するが、破壊靱性値としては初析 α と変態 β 組織の焼鈍状態によれば、二次針状 α の向きをそろえ、幅を大きくするとさらに靱性を向上させることができると見えるといえる。この結果は Ti-6Al-4V 合金における結果^{4,7)}と類似している。

針状初析 α 材が等軸初析 α 材よりも靱性に優れている

ことに対して、Fig. 6 に示したようにき裂前縁に生じた微視割れが大きく関与しているのは AE 特性から明白である。この微視割れの大きさは原波形解析により 50~80 μm と評価された。これを破面およびき裂進展経路と対応させてみると、Table 5 から等軸初析 α 材においては等軸ディンプルが数個合体した 50~80 μm の割れが認められ、針状初析 α 材においては針状の向きがそろつたブロックの大きさに相当する 50~80 μm の擬へき開ファセットが認められる。また、き裂は等軸初析 α 材でも針状初析 α 材でも程度の大小はあるが、50~80 μm 単位で進展方向を変えていることがわかる。従つて、これらのことから同一耐力で針状初析 α 材が等軸初析 α 材より革性に優れているのは二つの要因によると考えられる。ひとつは同一耐力で比較しているため、塑性変形を同じだけ受けるものと考えると、 K_{IC} 以前に発生する微視割れの大きさが同じであるので、その微視割れの数の違いによると結論できる。すなわち、針状初析 α 材の方が K_{IC} 以前に発生する微視割れの数が多く、き裂先端の応力集中を緩和する効果が大きいといえる。このことは KACHANOV⁸⁾らが数値計算によって求めているように、主き裂面と離れた位置に微視割れが生ずると見かけの応力拡大係数 K_I が低下するといえ、シールディング (Shielding) 効果—結果としてマイクロクラックタフニング (Microcrack toughening) —として理解される。もうひとつはき裂進展経路がジグザグであるために、微視割れと主き裂が連結する破壊経路が長くなることである。等軸初析 α 材に比べ破壊経路が長くなるということは、吸収されるエネルギーが多くなることも意味し、それゆえ破壊革性値は高くなる可能性がある。

次に混合組織について考える。混合組織は等軸 α 組織と針状 α 組織の中間の挙動を示す。いま、初析 α と時効 β マトリックス組織において二次析出針状 α を生ずると、き裂は初析 α と時効 β マトリックスの界面および時効 β マトリックス中を進展するので、針状 α による枝分れ (Branching) が起こり、革性が向上すると考えられる⁹⁾。この二次析出針状 α は幅が大きく向きがそろつた微小ブロック単位の方が革性の向上に寄与する。この場合、微小ブロック単位の微視割れが生じ、き裂先端の応力集中を緩和すると思われる。

破壊革性と引張性質の相関関係は従来より多数のモデルが検討されている¹⁰⁾。いま、Ti-6 Al-4 V 合金での結果にもとづき、ひずみ律速の延性破壊モデルを用いた次式で破壊革性値 K_C が定義されるものと仮定する⁶⁾¹¹⁾。

$$K_C = \sqrt{(\beta/\lambda) \cdot E \cdot \sigma_{YS} \cdot \epsilon_C \cdot X_0}$$

この式は、特性距離 X_0 におけるひずみが三軸応力下

の破断ひずみ ϵ_C に達すると K_C が定まるということを意味し、 β : 定数、 λ : 塑性拘束係数、 E : ヤング率、 σ_{YS} : 降伏強度である。この際、ミクロ組織因子は X_0 に含まれる。

いま、同一耐力 (932 MPa) の針状初析 α 材、等軸初析 α 材に上式の適用を試みてみる。針状初析 α 材について X_0 を求めると 300~400 μm となり、コロニーファセットの大きさと一致する。従つて、針状初析 α 材では AE 原波形解析により求めた 50~80 μm のブロックを単位とした微視割れがき裂前縁の上下方向に起こり、これが板厚方向に合体しつつき裂が進展し、300~400 μm のちようどこの材料のコロニーファセットの大きさに相当する距離だけき裂が進展したところで破壊革性値 K_{IC} が定まつたといえる。等軸初析 α 材では X_0 が 100~150 μm となる。これは微視割れの大きさの 2 倍に相当する。一方、Wells の式¹²⁾よりき裂先端開口量 (CTOD) を求めると 30~40 μm となり、プロセスゾーンが 2 倍の CTOD で表されるので¹³⁾、微視割れはプロセスゾーンの大きさに相当する。すなわち、等軸初析 α 材では塑性変形によりディンプル破面を呈しながら徐々にき裂が進む。この際、数個の微視割れをき裂前縁に生じる。そしてき裂がプロセスゾーンの大きさの 2 倍の距離進展したところで K_{IC} が定まるといえる。この特性距離 X_0 はミクロ組織との対応がつかないため検討を要するが、上述のように考えるならば、本質的に特性距離 X_0 におけるひずみが破断ひずみに至るという考え方が、等軸初析 α 材については成り立たないというべきかもしれない。また、針状初析 α 材では X_0 がコロニーファセットの大きさと対応したが、前述の関係式はき裂のジグザグ挙動や枝分かれを含めていない。これらの要因は巨視的な破壊革性値を向上させるものであり、考慮されなければならない。従つて、等軸初析 α 材における特性距離 X_0 とミクロ組織の対応およびき裂のジグザグ挙動や枝分かれを含めた関係式を明らかにすることが次の課題である。

5. 結論

Ti-6 Al-2 Sn-4 Zr-2 Mo 合金の破壊革性と針状、等軸、混合組織の関係およびその破壊素過程について検討を進め、以下の知見を得た。

- (1) 同一耐力において、針状初析 α 材は等軸初析 α 材よりも高い破壊革性を示した。また、混合組織では二次析出針状 α の幅が大きく、向きをそろえた微小ブロック単位である方が破壊革性は高くなつた。
- (2) AE 計測により K_{IC} 以前で AE が計測され、

10 mV 以上の大振幅 AE の数の多い方が破壊靭性が高くなることが観察された。この大振幅 AE はき裂前縁に生じた微視割れであり、その大きさは原波形解析により 50~80 μm と評価された。針状初析 α 材では、この微視割れの大きさは針状 α の向きがそろつたブロックの大きさに相当し、等軸初析 α 材でも数個のディンプルが合体した 50~80 μm のファセットの大きさに対応している。

(3) 同一耐力で針状初析 α 材が等軸初析 α 材より高い破壊靭性を示すのは、き裂前縁の上下方向に微視割れが多数生じ、き裂先端の応力集中を緩和するシールディング (Shielding) 効果とその微視割れが板厚方向に合体し、主き裂進展となる際、き裂進展距離が長くなることによるものと結論できる。

Appendix

き裂先端に微視割れを生ずると、弾性波としての AE 波が発生する。この原波形を $D(t)$ 、検出波形を $V(t)$ とし、AE 発生から変換子による出力までを時間に関する線形系とみなすと(1)式が成立する。

$$V(t) = G(t) \otimes S(t) \otimes D(t) \quad \dots \dots \dots \quad (1)$$

ここで、 $G(t)$ は媒体のグリーン関数、 $S(t)$ は計測系の応答関数であり、 \otimes は時間に関するたたみ込み積分を表す。

いま、き裂先端に生ずるモード I 型の微視割れの形状を円柱で近似すると、面積 ΔA (半径 a)、開口量 $\Delta\phi$ を用いて $D(t)$ は次式で表される。

$$D(t) = (\lambda + 2\mu) \cdot \Delta A(t) \cdot \Delta\phi(t) \quad \dots \dots \dots \quad (2)$$

ここで、 λ, μ はラーメの定数である。

従つて、(1)式より $V(t)$ の逆たたみ込み積分により $D(t)$ が求まり、さらに(2)式より割れの体積 $\Delta A \cdot \Delta\phi$ が求まる。この微視割れが応力 σ の一様応力場で生じたときには、

$$a = \left\{ \frac{3E}{8\pi(1-\nu^2)} \cdot \frac{\Delta A \cdot \Delta\phi}{\sigma} \right\}^{1/3} \quad \dots \dots \dots \quad (3)$$

の関係から、半径 a が求まる。

文 献

- 1) 新家光雄、稻垣育宏、小林俊郎: 鉄と鋼, 73 (1987), p. 1397
- 2) J. A. HALL, C. M. PIERCE, D. L. RUCKLE and R. A. SPRAGUE: Mater. Sci. Eng., 9 (1972), p. 197
- 3) N. L. RICHARDS and J. T. BARNBY: Mater. Sci. Eng., 26 (1976), p. 221
- 4) J. C. CHESNUTT, C. G. RHODES and J. C. WILLIAMS: ASTM STP, 600 (1976), p. 99
- 5) 草道英武、村上陽太郎、木村啓造、和泉修: 金属チタンとその応用 (1983), p. 57 [日刊工業新聞社]
- 6) 岸輝雄、大山英人、金教漢: 鉄と鋼, 72 (1986), p. 123
- 7) 岸輝雄、金教漢: 鉄と鋼, 72 (1986), S 1580
- 8) M. KACHANOV: Int. Journ. of Fracture, 30 (1986), R 65
- 9) D. EYRON and C. M. PIERCE: Metall. Trans. A, 7 (1976), p. 111
- 10) J. P. HIRTH and F. H. FROES: Metall. Trans. A, 8 (1977), p. 1165
- 11) 岸輝雄、金教漢: TNT 研究会資料 (1985)
- 12) British Standard Institution DD 19 (1972)
- 13) J. R. RICE and M. A. JOHNSON: Inelastic Behaviour of Solids (1970) [McGraw-Hill]